

Fehérje-ligandum kötődés számítógépes modellezése I. Termodinamikai mennyiségek számítása

Ferenczy György

Semmelweis Egyetem
Biofizikai és Sugárbiológiai Intézet

ferenczy.gyorgy@med.semmelweis-univ.hu

Tartalom

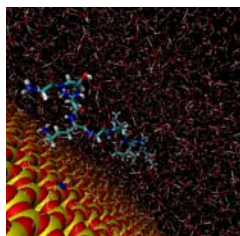
- Mintavétel molekuladinamikában
- Termodinamikai mennyiségek számítása az „átalakulási úton”
 - Szabadenergia számítási technikák:
 - Termodinamikai integrálás
 - Szabadenergia perturbáció
 - Átlagos erő potenciálja
 - Nem egensúlyi munka
 - Standard szabadenergia
 - Entalpia és entrópia
 - Példák



2

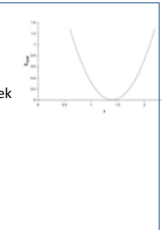
Molekuladinamika (ismétlés)

- Kapcsolat mikroszkopikus és makroszkopikus mennyiségek között
 - atomok mozgását szimuláljuk
 - mintát veszünk
 - nyomás, hőmérséklet, szabadenergia,... számítható



- Klasszikus molekula dinamika:

- atomok közötti potenciál $E_{MM} = E_{kötés} + E_{szög} + E_{torz} + E_{vdw} + E_{elek}$
- atomok sebességei
- Newton mozgásegyenletei: $-\frac{dU}{dr} = m \frac{d^2r}{dt^2}$



3

MD - Mintavétel

- Mikroállapotok Boltzmann eloszlás szerint jelennek meg
 - $\exp\left(-\frac{E}{kT}\right)$
- Számítási kapacitás által korlátozott szimulációs idő
 - Fehérjék esetében $\sim \mu s$
- Lassú, jelentős energiagáttal rendelkező folyamatok szimulációjának korlátja

4

MD - Mintavétel

Idő skála (s)	Amplitúdó (Å)	Jellemzés	MD lépésszám (lépés ~ fs)
$10^{-15}\text{-}10^{-12}$	0.001-0.1	kötés megnyúlás, kötésszög torzulás	$1\text{-}1000$
$10^{-12}\text{-}10^{-9}$	0.1-10	fehérje oldallánc, hurok, kollektív mozgások	$10^3\text{-}10^6$
$10^{-9}\text{-}10^{-6}$	1-100	kisméretű fehérjék feltekeredése;	$10^6\text{-}10^9$
$10^{-6}\text{-}10^{-1}$	10-100	fehérje feltekeredés, ligandum-fehérje kötődés	$10^9\text{-}10^{14}$

5

Szabadenergia - Mintavétel

$$F = -kT \ln \left[h^{-3N} \iint \exp \left(-\frac{E(r,p)}{kT} \right) dp dr \right] \quad (1) \text{ szabadenergia képlete}$$

Szabadenergia számítása MD mintavétellel nehéz
 (1)-ben fázistér nem teljes : integrál pozitív; In függvény monoton nő
 -> negatív hozzájárulás hiányzik -> F túlbecsült

6

Szabadenergia - Mintavétel

$$F = -kT \ln \left[h^{-3N} \iint \exp \left(-\frac{E}{kT} \right) dp dr \right] \quad (1) \text{ Szabadenergia képlete}$$

$$F = -kT \ln \left[\int \exp \left(-\frac{E}{kT} \right) dr \right] + \begin{pmatrix} \text{ideális gáz} \\ \text{kinetikus energia} \end{pmatrix} \quad (2) \text{ Impulzus szerint integrálva}$$

$$F' = -kT \ln \left[\frac{\int \exp \left(-\frac{E}{kT} \right) dr}{\int \exp \left(-\frac{E}{kT} \right) \exp \left(+\frac{E}{kT} \right) dr} \right] \quad (3) \text{ Térfogati integrállal osztva}$$

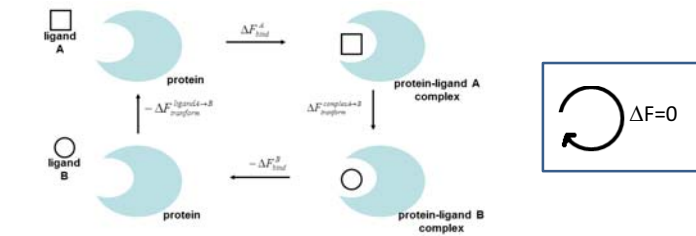
$$F' = kT \ln \left[\frac{\int \exp \left(+\frac{E}{kT} \right) \exp \left(-\frac{E}{kT} \right) dr}{\int \exp \left(-\frac{E}{kT} \right) dr} \right] = kT \ln \left(\exp \left(\frac{E}{kT} \right) \right) \quad (4) \text{ előző egyenlet várható érték alakban}$$

(4)-ben a nagy energiájú tagok hozzájárulása F-hez számottevő, de mintavételének valószínűsége kicsi

7

Szabadenergia különbség

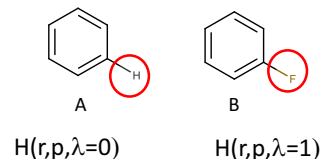
- A mintavételezés részlegessége nehezíti F és $\Delta F = F_B - F_A$ számítását
- Hasonló rendszerek $\Delta F = F_B - F_A$ (A hasonló B-hez) számítására speciális technikák (lásd később)
- Termodinamikai ciklus: 2 hasonló ligandum kötődési szabadenergia különbségének ($\Delta\Delta F$) számítását visszavezeti hasonló rendszerek szabadenergia különbségének számítására



- $\Delta F(A)_{bind} - \Delta F(B)_{bind} = \Delta F(cmplx)_{tr} - \Delta F(ligand)_{tr}$
- „alkímiai” transzformációk: $\Delta F(cmplx)_{tr}$ és $\Delta F(ligand)_{tr}$
 - 2 transzformáció $\Delta\Delta F$ számításához

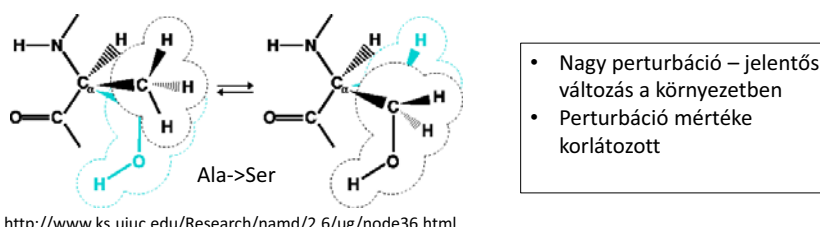
8

Alkímiai transzformáció - csatolási paraméter



$$H_\lambda = H(r,p,\lambda) = (1-\lambda) H_A + \lambda H_B$$

λ – csatolás paraméter
 H_λ , λ -nak más függvénye is lehet
 H_A , H_B is függhet λ -től



9

MD technikák ΔF számítására

- Termodinamikai integrálás (TI)
- Szabadenergia perturbáció (FEP)
- Átlagos erő potenciálja (PMF)
- Nem egyensúlyi munka (Jarzynski egyenlet)

10

Termodinamikai integrálás

$$\Delta F = F_B - F_A = F(\lambda=1) - F(\lambda=0) = \int_{\lambda=0}^{\lambda=1} F'(\lambda) d\lambda$$

$$F' = \frac{d}{d\lambda} [-kT \ln Z(\lambda)] = \left\langle \frac{\partial E}{\partial \lambda} \right\rangle$$

$$F' = \left\langle \frac{\partial E}{\partial \lambda} \right\rangle \rightarrow \frac{dF(x, \lambda)}{d\lambda} = \frac{d}{d\lambda} \left(-kT \ln \int e^{-\frac{E(x, \lambda)}{kT}} dx \right)$$

$$= -kT \frac{1}{\int e^{-\frac{E(x, \lambda)}{kT}} dx} \int e^{-\frac{E(x, \lambda)}{kT}} \left(-\frac{1}{kT} \frac{dE(x, \lambda)}{d\lambda} \right) dx = \left\langle \frac{dE(x, \lambda)}{d\lambda} \right\rangle$$

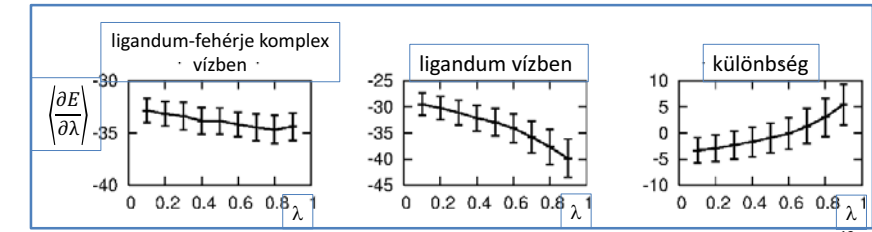
Pi.: $E(x, \lambda) = (1-\lambda) E_A(x) + \lambda E_B(x);$
 $dE/d\lambda = E_B - E_A$

11

Termodinamikai integrálás

- Megvalósítás
 - λ időben változik
 - Szimuláció különböző rögzített λ értékeknél
 - $\left\langle \frac{\partial E}{\partial \lambda} \right\rangle$ kiszámítása
 - T.f.: $\frac{\partial E}{\partial \lambda} = E_B - E_A \rightarrow \langle E_B - E_A \rangle_\lambda$ λ -től függ; általában bonyolultabb $\frac{\partial E}{\partial \lambda}$
 - Numerikus integrálás – „sima” $F(\lambda)$ szükséges

$$\Delta F = \int_{\lambda=0}^{\lambda=1} \left\langle \frac{\partial E}{\partial \lambda} \right\rangle_\lambda d\lambda$$



12

Szabadenergia perturbáció

$$F = -kT \ln \left[\int \exp \left(-\frac{E}{kT} \right) d\underline{r} \right]$$

(1) szabadenergia képlete

$$F_B - F_A = -kT \ln \left[\frac{\int \exp \left(-\frac{E_B}{kT} \right) d\underline{r}}{\int \exp \left(-\frac{E_A}{kT} \right) d\underline{r}} \right]$$

(2) két rendszer
szabadenergia különbsége

$$F_B - F_A = -kT \ln \left[\frac{\int \exp \left(-\frac{E_A}{kT} \right) \exp \left(\frac{E_A}{kT} \right) \exp \left(-\frac{E_B}{kT} \right) d\underline{r}}{\int \exp \left(-\frac{E_A}{kT} \right) d\underline{r}} \right]$$

(3) $1 = \exp \left(-\frac{E_A}{kT} \right) \exp \left(\frac{E_A}{kT} \right)$

$$F_B - F_A = -kT \ln \left[\frac{\int \exp \left(-\frac{E_A}{kT} \right) \exp \left(-\frac{\Delta E}{kT} \right) d\underline{r}}{\int \exp \left(-\frac{E_A}{kT} \right) d\underline{r}} \right]$$

(4) $\Delta E = E_B - E_A$

$$F_B - F_A = -kT \ln \left[\left| \exp \left(-\frac{\Delta E}{kT} \right) \right|_A \right]$$

(5) előző kifejezés
várható érték alakban

13

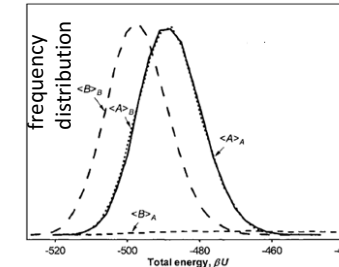
Szabadenergia perturbáció

$$\Delta F = -kT \ln \left(\exp - \frac{E_B - E_A}{kT} \right)_A$$

- A → B több szakaszra osztható (osztandó)

– A két állapot konfigurációs tere átfedjen

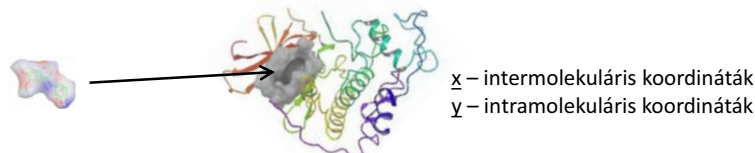
$$- A \xrightarrow{\text{+ + + + +}} B \quad \Delta F = \sum_i -kT \ln \left(\exp - \frac{E(\lambda_{i+1}) - E(\lambda_i)}{kT} \right)_{\lambda_i}$$



J. CHEM. PHYS.
123, 084109 (2005)

14

Átlagos erő potenciálja (PMF)



$$F = -RT \ln \left[\int \exp \left(-\frac{E(x, y)}{RT} \right) d\underline{x} d\underline{y} \right] \quad \text{szabadenergia}$$

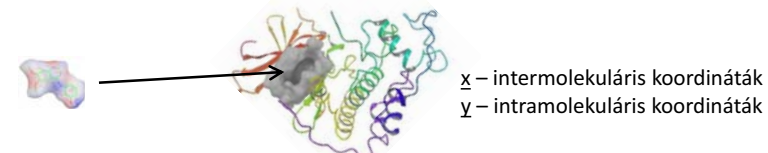
$$F(\underline{x}) = -RT \ln \left[\int \exp \left(-\frac{E(\underline{x}, \underline{y})}{RT} \right) d\underline{y} \right] \quad \text{átlagos erő potenciálja}$$

magyarázat

$$\frac{dF(\underline{x})}{d\underline{x}} = \frac{\int \frac{dE(\underline{x}, \underline{y})}{d\underline{x}} e^{-\frac{E(\underline{x}, \underline{y})}{RT}} d\underline{y}}{\int e^{-\frac{E(\underline{x}, \underline{y})}{RT}} d\underline{y}} = -\langle \varphi(\underline{x}) \rangle_y \quad F - \text{potenciál; } \varphi - \text{erő}$$

15

Átlagos erő potenciálja (PMF)

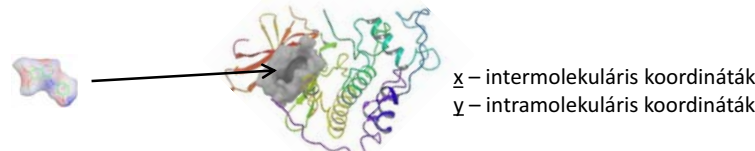


$$P(\underline{x}) = \int P(\underline{x}, \underline{y}) d\underline{y} = \frac{\int e^{-\frac{E(\underline{x}, \underline{y})}{RT}} d\underline{y}}{\int e^{-\frac{E(\underline{x}, \underline{y})}{RT}} d\underline{x} d\underline{y}} = \frac{e^{-\frac{F(\underline{x})}{RT}}}{\int e^{-\frac{E(\underline{x}, \underline{y})}{RT}} d\underline{x} d\underline{y}} \quad P(\underline{x}) - \underline{x} \text{ valószínűsége}$$

$$F(\underline{x}) - F_{Ref} = -RT \ln \frac{P(\underline{x})}{P(Ref)}$$

16

Átlagos erő potenciálja



Számítás:

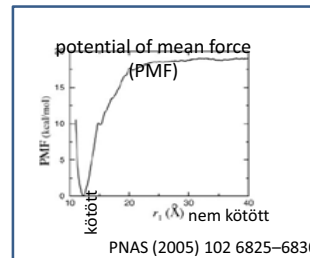
1. $P(\underline{x})$ számítása \underline{x} mentén

$$F(\underline{x}) - F_{Ref} = -RT \ln \frac{P(\underline{x})}{P(Ref)}$$

$$F(\underline{x}) = -RT \ln P(\underline{x}) + \text{konst.}$$

2. $\langle \varphi(\underline{x}) \rangle$ számítása rögzített \underline{x} -k mentén

$$F(x') - F(ref) = \int_{ref}^{x'} \frac{dF(\underline{x})}{d\underline{x}} d\underline{x} = \int_{ref}^{x'} -\langle \varphi(\underline{x}) \rangle d\underline{x}$$



Alkalmas mintavétel szükséges!

17

Nem egyensúlyi munka

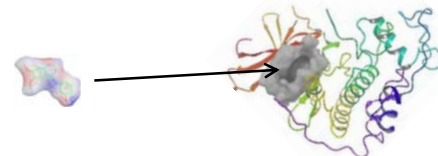
$$\Delta F = F_2 - F_1 = -kT \ln \left\langle \exp \left(-\frac{W}{kT} \right) \right\rangle \quad (\text{Jarzynski})$$

- Nem egyensúlyi úton végzett munkából (W) számolt várható érték
- Gyors transzformáció is lehetséges a két állapot között
- Mintavételezési probléma
- Jelenlegi eljárások nem hatékonyabbak, mint az egyensúlyi módszerek

18

Standard kötődési szabadentalpia számítás - 1

- $LP \leftrightarrow L + P$
- ΔG (nem $\Delta\Delta G$) számítás
 - Ligandum tényleges kötődési folyamata

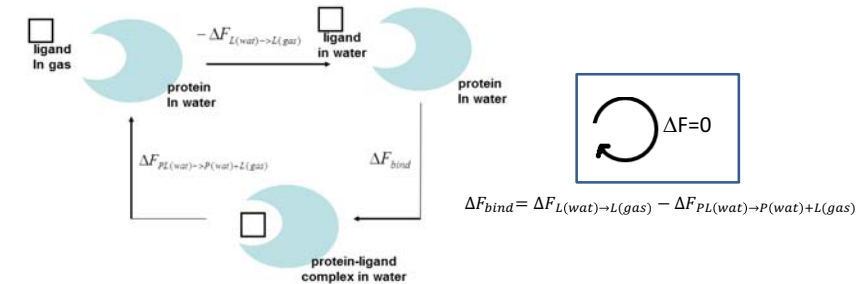


– λ reakciókoordináta mentén: átlagos erő potenciálja (PMF)

19

Standard kötődési szabadentalpia számítás - 2

- $LP \leftrightarrow L + P$
 - Kettős lecsatolás („double decoupling”); L nem hat kölcsön a környezetével



– TI vagy FEP

$$\Delta F = \int_{\lambda=0}^{\lambda=1} \left(\frac{\partial E}{\partial \lambda} \right)_{\lambda} d\lambda \quad \Delta F = \sum_i -kT \ln \left\langle \exp \left(-\frac{E(\lambda_{i+1}) - E(\lambda_i)}{kT} \right) \right\rangle_{\lambda_i}$$

20

Entalpia és entrópia számítása

- ΔF számítható hasonló rendszerek energiakülönbsége várható értékéből
 - v.ö. TI és FEP
- $\Delta H, T\Delta S$ a végállapotok állapotfüggvényei várható értékének különbségéből számítható
- $\Delta H, T\Delta S$ számítása több nagyságrenddel pontatlanabb, mint ΔF számítása

21

Példa – FKBP12-ligandum

Standard kötődési szabadentalpia
Kettős lecsatolás
FEP
Energia komponensek is

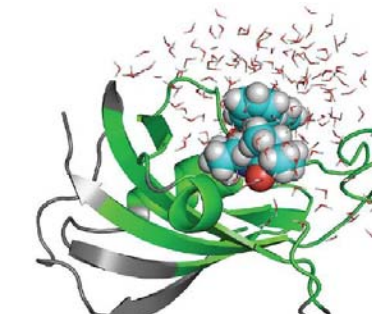
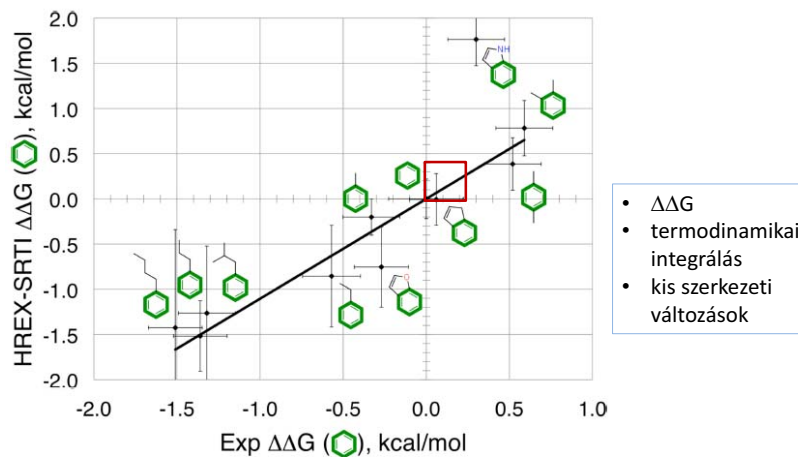


Figure 4. FKBP12 bound with ligand #8 studied previously.^{40,42} The gray parts are treated as a mean-field approximation with generalized solvent boundary potential.³⁸ See ref. 42 for computational details.

	$\Delta\Delta G_{\text{rep}}$	$\Delta\Delta G_{\text{dis}}$	$\Delta\Delta G_{\text{elec}}$	$\Delta\Delta G_c$	$\Delta\Delta G_t^{\circ}$	$\Delta\Delta G_r^{\circ}$	$\Delta G_{\text{bind}}^{\circ}$	exptl
konf	-1.1	-21.1	-3.7	6.9	3.4	5.4	-10.2	-10.9
transzil								
rot								

22
J. Phys. Chem. B 2009, 113, 2234

Példa – kötődés lizozimhez



J. Chem. Theor. Comput. 2011, 7 3001

23

Példa – neuraminidáz gátlók 1

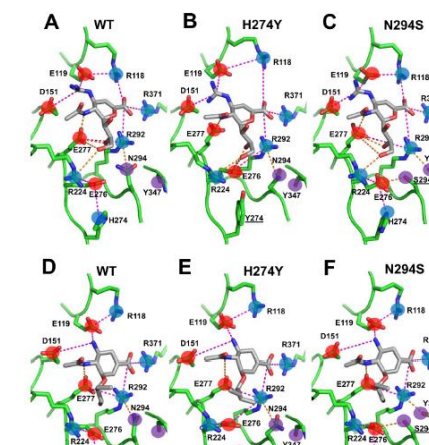


Figure 2. Representative structures for zanamivir (A, B and C) and oseltamivir (D, E and F) bound to WT and mutant NAs from the SRSM/HREX simulations. Salt bridges and hydrogen bonds are depicted as magenta and orange dashed lines, respectively. Positively charged, uncharged and negatively charged polar groups are noted as blue, red, and purple circles, respectively, and residues of interest are labeled. Mutated residues are underlined.

doi:10.1371/journal.pcbi.1002665.g002

PLOS Comp Biol 2012, 8 e1002665

24

Példa – neuraminidáz gátlók 2

Table 1. Comparison of experimental $\Delta\Delta G$ in oseltamivir and zanamivir for three NA mutations with estimates obtained using different computational approaches.

Method	H274Y		N294S		Y252H		RMSE (RMSD), kcal/mol	
	$\Delta\Delta G$, kcal/mol		$\Delta\Delta G$, kcal/mol		$\Delta\Delta G$, kcal/mol			
	zanamivir	oseltamivir	zanamivir	oseltamivir	zanamivir	oseltamivir		
Experimental ^a	0.4 (0.1)	3.3 (0.2) ^b	1.2 (0.1) ^b	2.6 (0.2) ^b	0.1 (0.2)	-1.4 (0.1)	N/A (0.2)	
SRMM	-5.8 (7.4)	0.7 (7.0)	8.2 (7.7)	5.8 (6.2)	-0.1 (8.7)	-0.9 (7.4)	4.2 (7.4)	
SBSM	1.7 (2.9)	1.2 (3.0)	0.6 (2.0)	1.7 (1.9)	1.5 (1.7)	0.5 (1.5)	1.5 (2.2)	
SRSM/HREX	1.3 (0.8)	4.1 (2.4)	2.3 (0.4)	2.2 (0.9)	0.6 (0.8)	0.7 (1.4)	1.1 (1.1)	
MM-GBSA	6.2 (8.1)	0.9 (3.8)	5.7 (6.1)	-5.9 (3.6)	2.1 (2.9)	-1.9 (3.0)	4.8 (4.6)	
MM-PBSA	8.4 (10.1)	3.0 (3.9)	5.8 (4.5)	-4.7 (3.2)	2.8 (3.1)	0.2 (2.6)	5.0 (4.6)	
Incerta	-0.4 (0.5)	-0.8 (0.4)	-0.4 (0.3)	-0.4 (0.2)	-0.1 (0.4)	0.0 (0.0)	1.7 (0.4)	

^aValues were derived from the data reported by Collins et al [10].

Standard deviations are shown in parentheses. Root mean squared error (RMSE) and the RMS Standard Deviation (RMSD) are provided.

^bIndicates experimentally determined drug resistant mutation. 'N/A' stands for not applicable.

doi:10.1371/journal.pcbi.1002665.1001

PLOS Comp Biol 2012, 8 e1002665

- $\Delta\Delta G$; TI
 - Vad típus/mutáns
 - Kísérleti/számított
 - Standard deviáció is
- | | |
|--|---|
| A különböző mutánsokhoz való kötődés erősségének sorrendje helyes minden ligandum esetében | A két ligandum adott fehérjéhez való kötődés erősségének sorrendje nem mindenkor egyezik a kísérletivel |
|--|---|

Összefoglalás

- Fehérje-ligandum kölcsönhatás számítógépes modellezése – 1. rész
 - MD alapú módszerek - potenciálisan pontosak
 - Legfőbb nehézség: mintavétel
 - $\Delta\Delta F$ ($\Delta\Delta G$) számítása hatékony; „Alkímiai” transzformációk
 - Technikák ΔF számítására (hasonló állapotok között)
 - Termodinamikai integrálás
 - Szabadenergia perturbáció
 - Átlagos erő potenciálja
 - Nem egyensúlyi munka
 - Standard kötődési szabadtalpia is számítható
 - Entalpia és entrópia változás számítása fokozottan pontatlan
 - Nem rutinszerű alkalmazás; változó pontosság